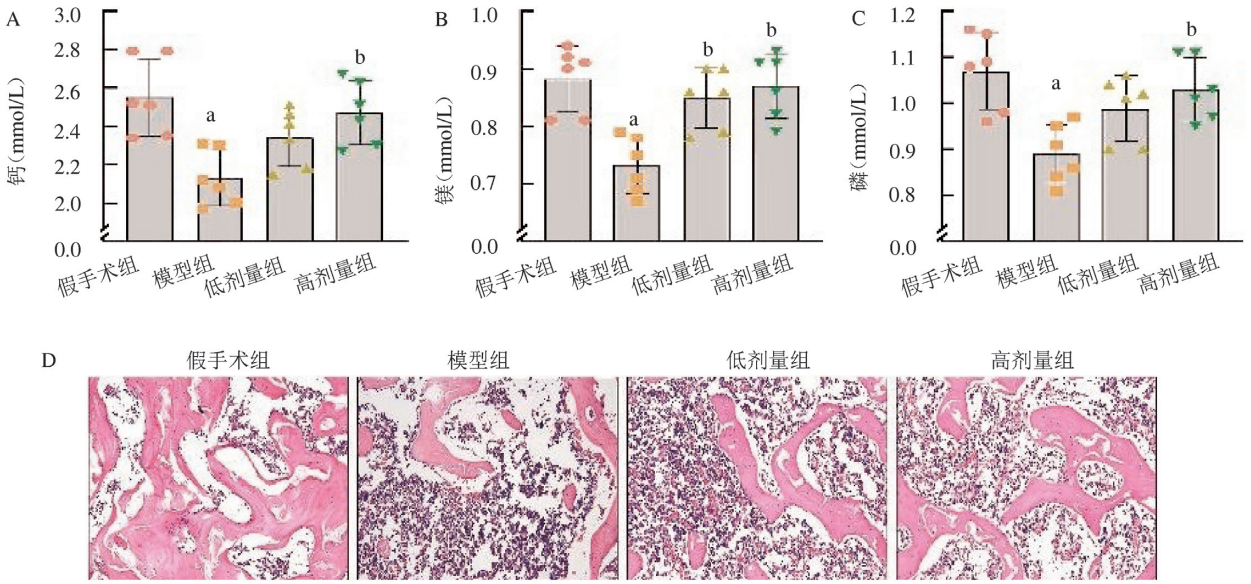
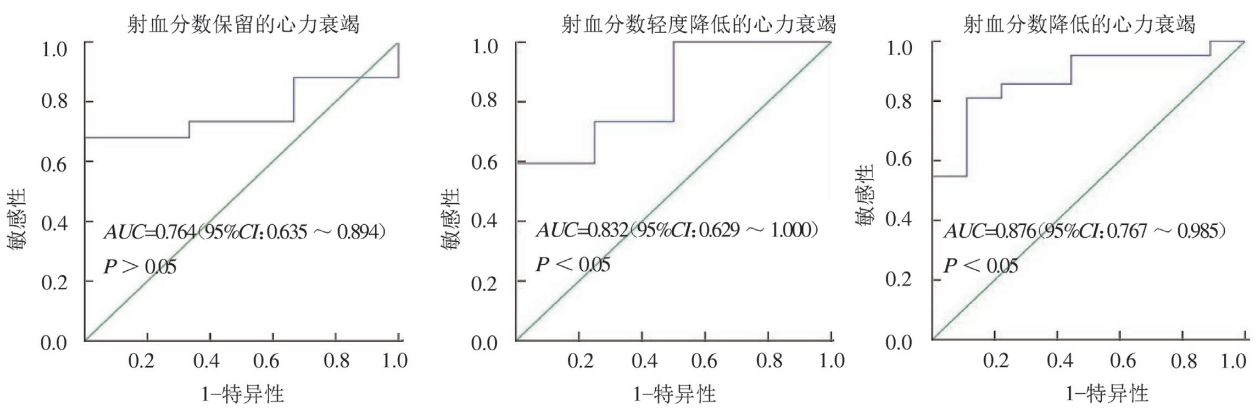
邬博来，邓佳鑫，王小军，等.乳香散对绝经后骨质疏松骨折大鼠骨代谢相关指标的影响（见正文第 9 页）



注：A ～ C 为生化检测各组大鼠血清钙（A）、镁（B）、磷（C）水平，D 为 HE 染色观察各组大鼠股骨组织病理形态（HE 染色，×50）

图 1　乳香散对绝经后骨折疏松性骨折大鼠血清钙、镁、磷水平及股骨组织病理形态的影响

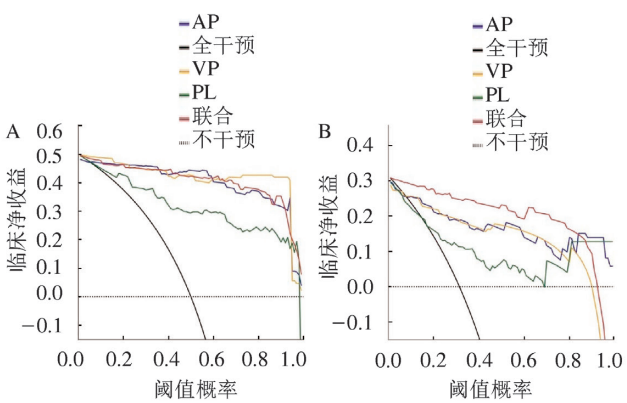
木炳武，任心畅，温祺祺，等.冠状动脉周围脂肪衰减指数对缺血性心力衰竭患者主要心血管不良事件的预测价值（见正文第 20 页）



注：FAI 为冠状动脉周围脂肪衰减指数，ROC 曲线为受试者工作特征曲线

图 2　入院 FAI 值预测心力衰竭患者主要心脏不良事件发生的 ROC 曲线

朱佩云，吴凡，刘虎，等.基于 CT 的影像组学在肾透明细胞癌与非透明细胞癌鉴别中的应用（见正文第 32 页）



注：A 为训练集，B 为验证集。AP 为动脉期，VP 为静脉期，PL 为平扫

图 3　XGB 模型的决策曲线

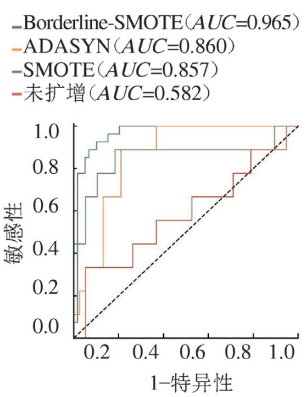


图 4　未使用扩增样本以及 3 种不同扩增样本方法模型的 ROC 曲线

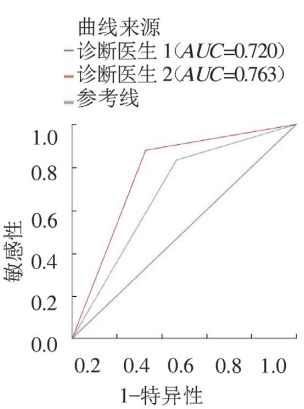


图 5　放射诊断医生鉴别肾透明细胞癌和非透明细胞癌的 ROC 曲线